



Les mesures de télédétection à partir du sol pour la météorologie atmosphérique

J. Parent du Châtelet¹, O. Caumont¹, P. Tabary², N. Gaussiat², L. Besson⁴,
J. Delanoë⁴, J.C. Dupont³, M. Haeffelin³

1 – CNRM-GAME, Toulouse, France

2 – Météo-France, Toulouse, France

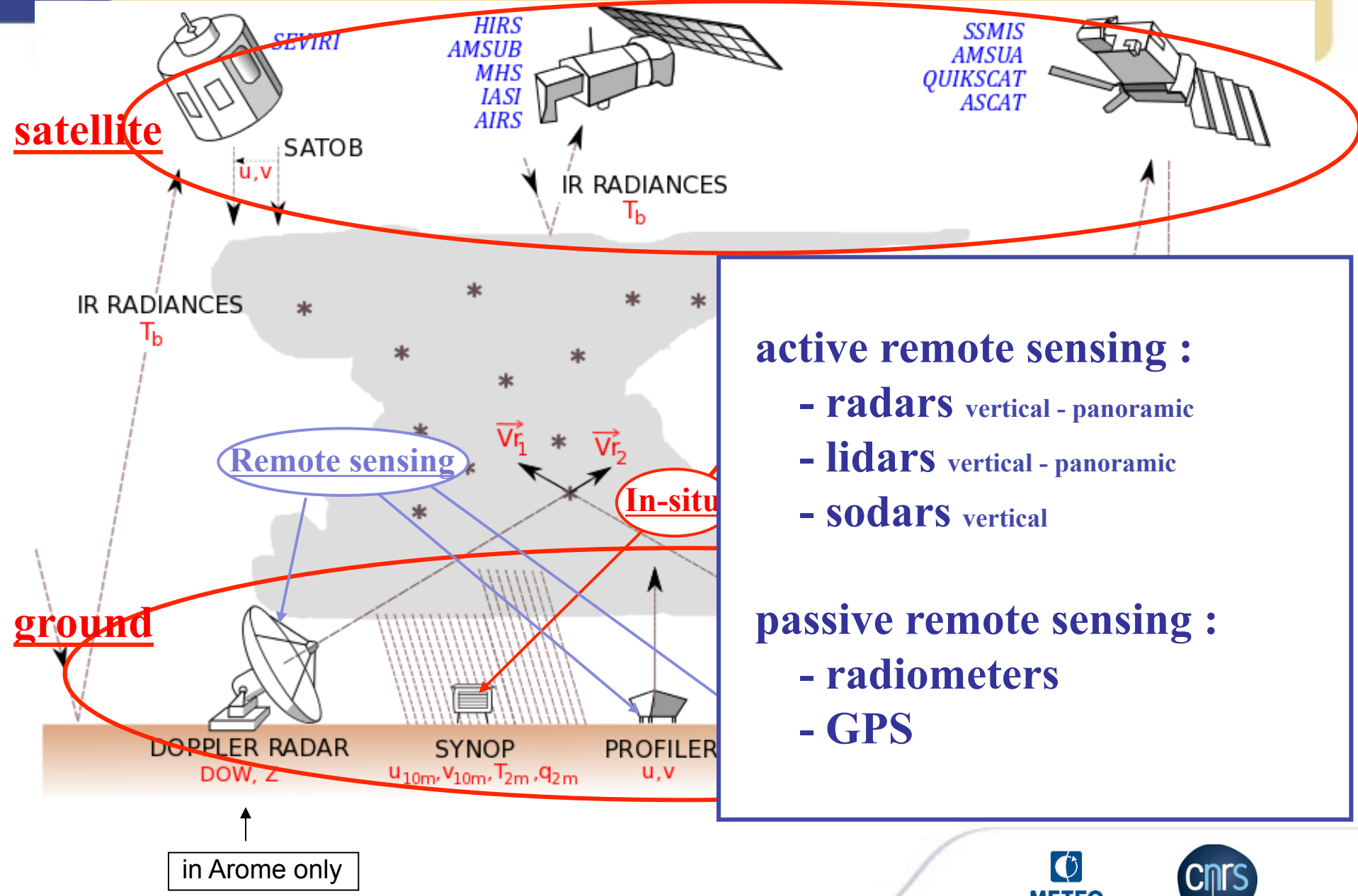
3 – SIRTA, Palaiseau, France

4 – Latmos, Guyancourt, France

Colloque « Météorologie : de l'Atmosphère à l'Espace », 18-19 juin 2015 Meudon



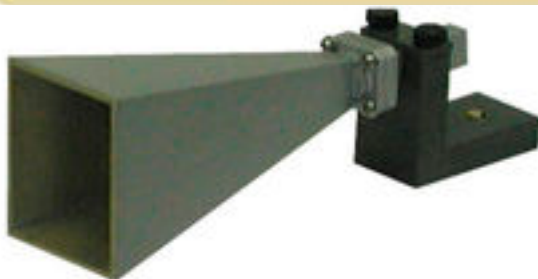
observations assimilated by forecasting models



Les trois grandes familles d'appareil pour la télédétection atmosphérique (sol, avion, satellite)

- famille RADAR
 - $\lambda > 10$ m : sondeurs ionosphériques; radars transhorizons
 - $\lambda = 1$ m à 6 m : profileurs verticaux du vent
 - $\lambda = 3$ cm à 10 cm : radars précipitations (profileurs ou panoramiques)
 - $\lambda = 3$ mm à 8 mm : profileurs verticaux des nuages
- famille SODAR
 - Profils de température, profils de vent
- famille LIDAR ($\lambda = 0,25 \mu\text{m}$ à $10 \mu\text{m}$)
 - hauteur de base des nuages (télémètres)
 - aérosols
 - profils de concentration moléculaires par effet Raman (UV)
 - Donc profils de vapeur d'eau, de température, O3, ...
 - Vent par effet Doppler

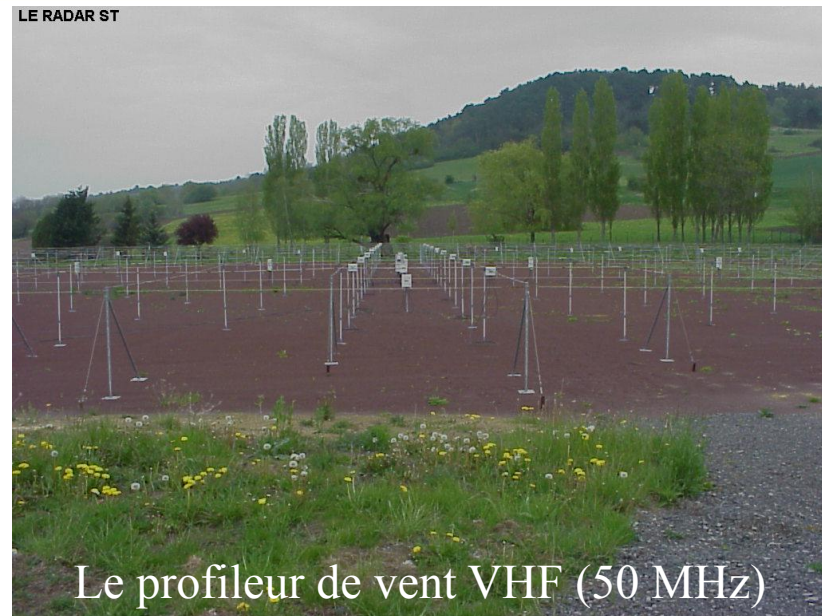
Quelques exemples d'antennes radar



Le simple « cornet »



Le radar nuage 95 GHz



Le profileur de vent VHF (50 MHz)



Le radar précipitation 2 GHz

Exemples de systèmes sodar – lidar – radiomètres



SODAR



Télémètre CL31 Vaisala

Lidar vent Leosphere

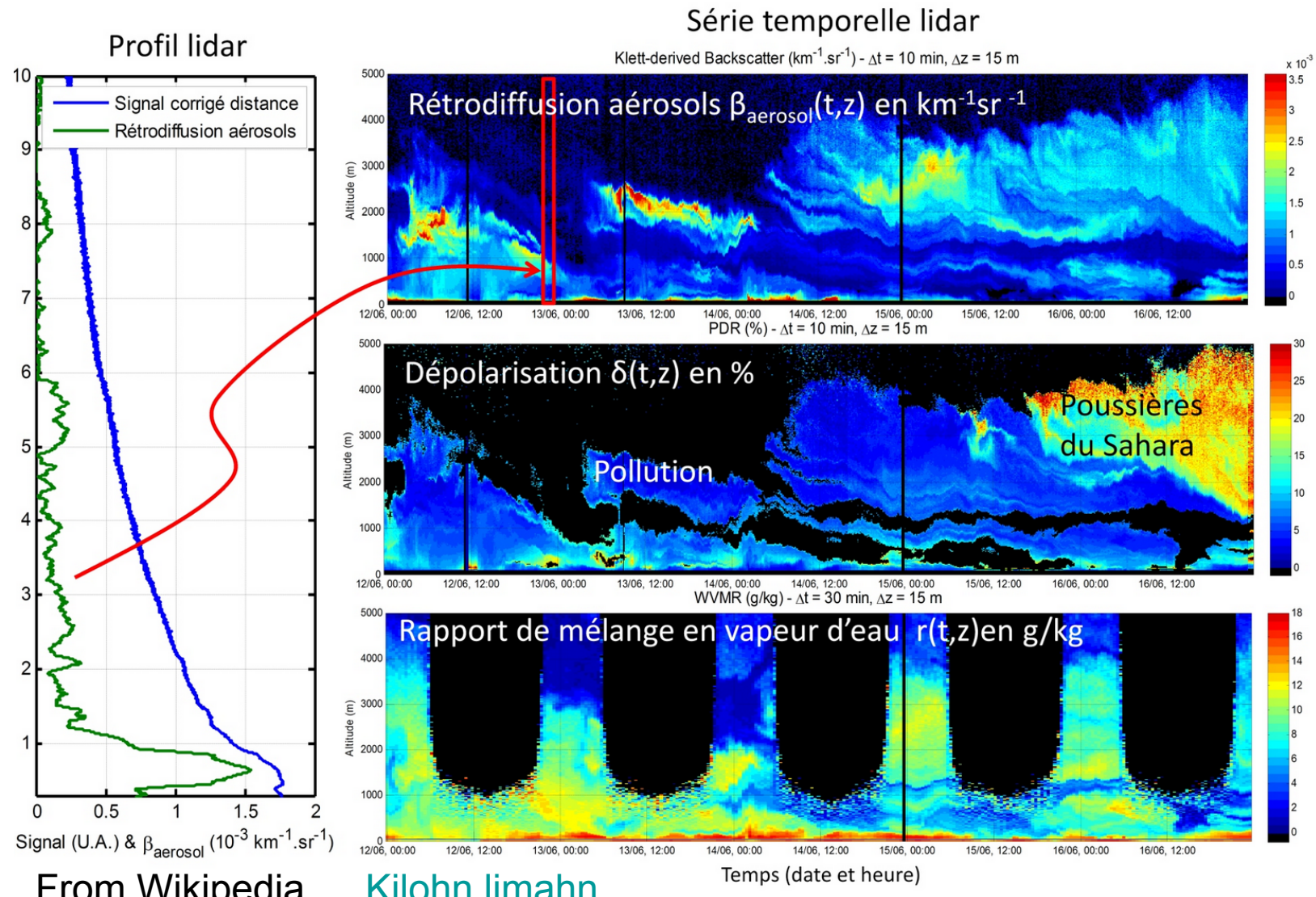


Radiomètre micro-onde RPG multicanaux



Lidar aérosols CIMEL

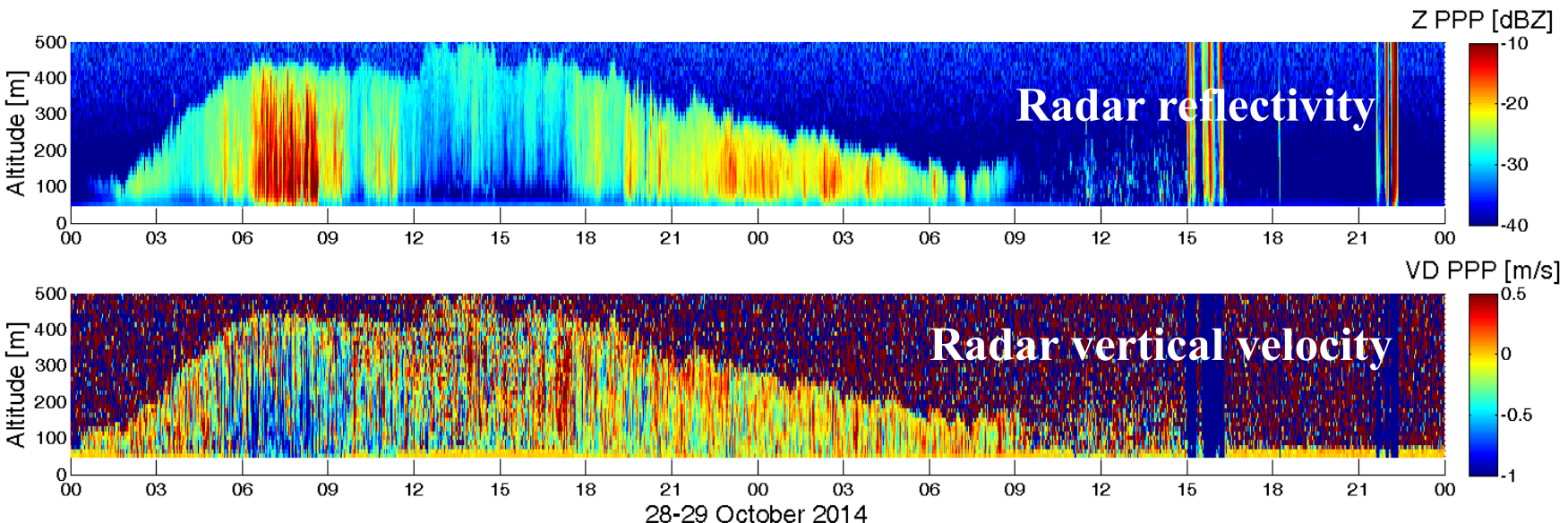
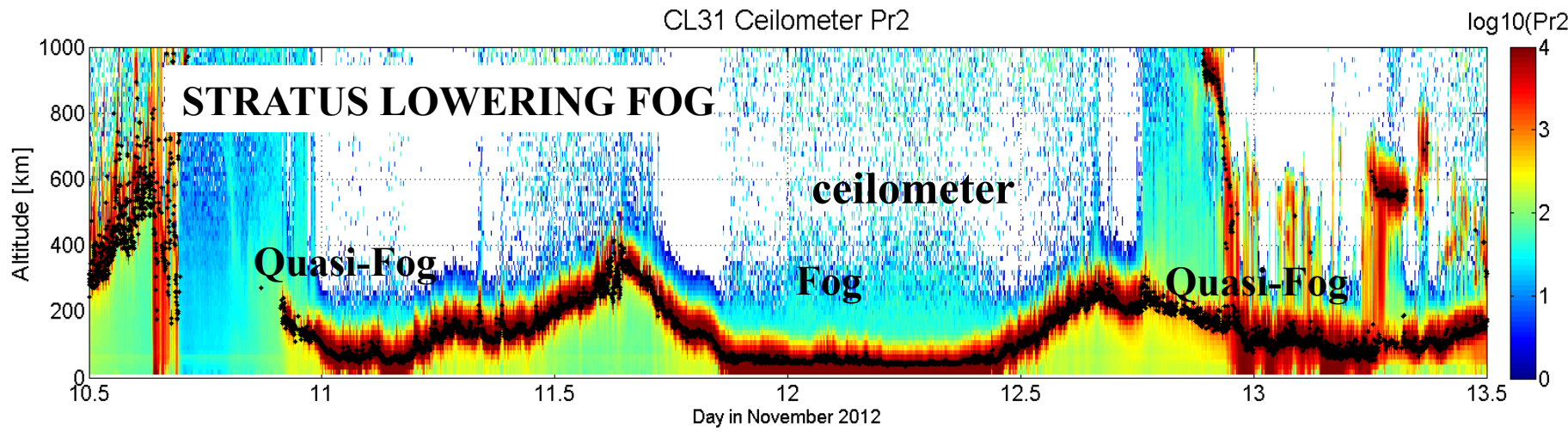
Exemple de profil lidar (Raman H₂O) sur 5 jours



From Wikipedia,

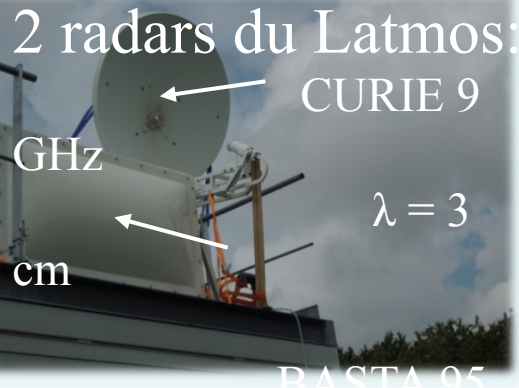
[Kilohn limahn](#)

Exemple de profils radar et lidar pour des situations de brouillard



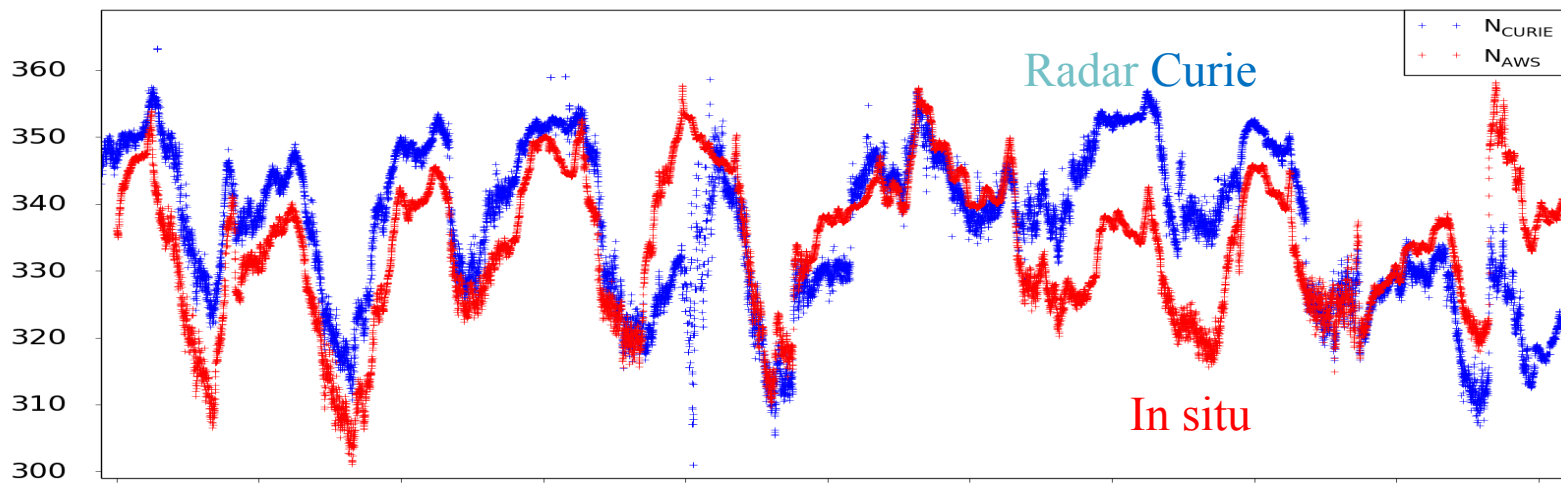
REFRACTIVITE atmosphérique par radar : Campagne TeMeraire été 2014

(évaluer la mesure de l'indice de refraction atmosphérique à l'échelle 100m)



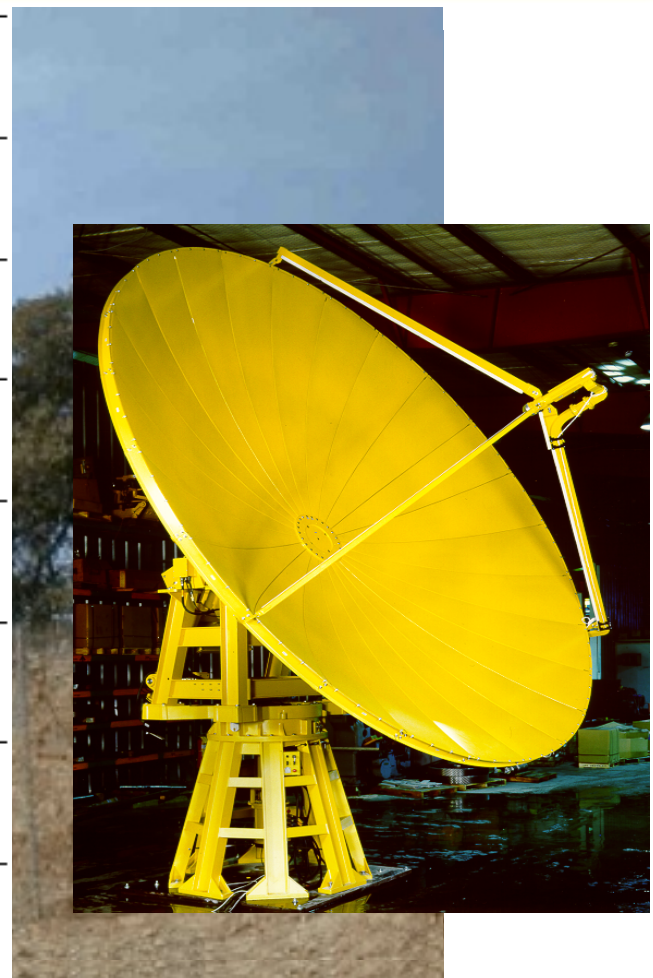
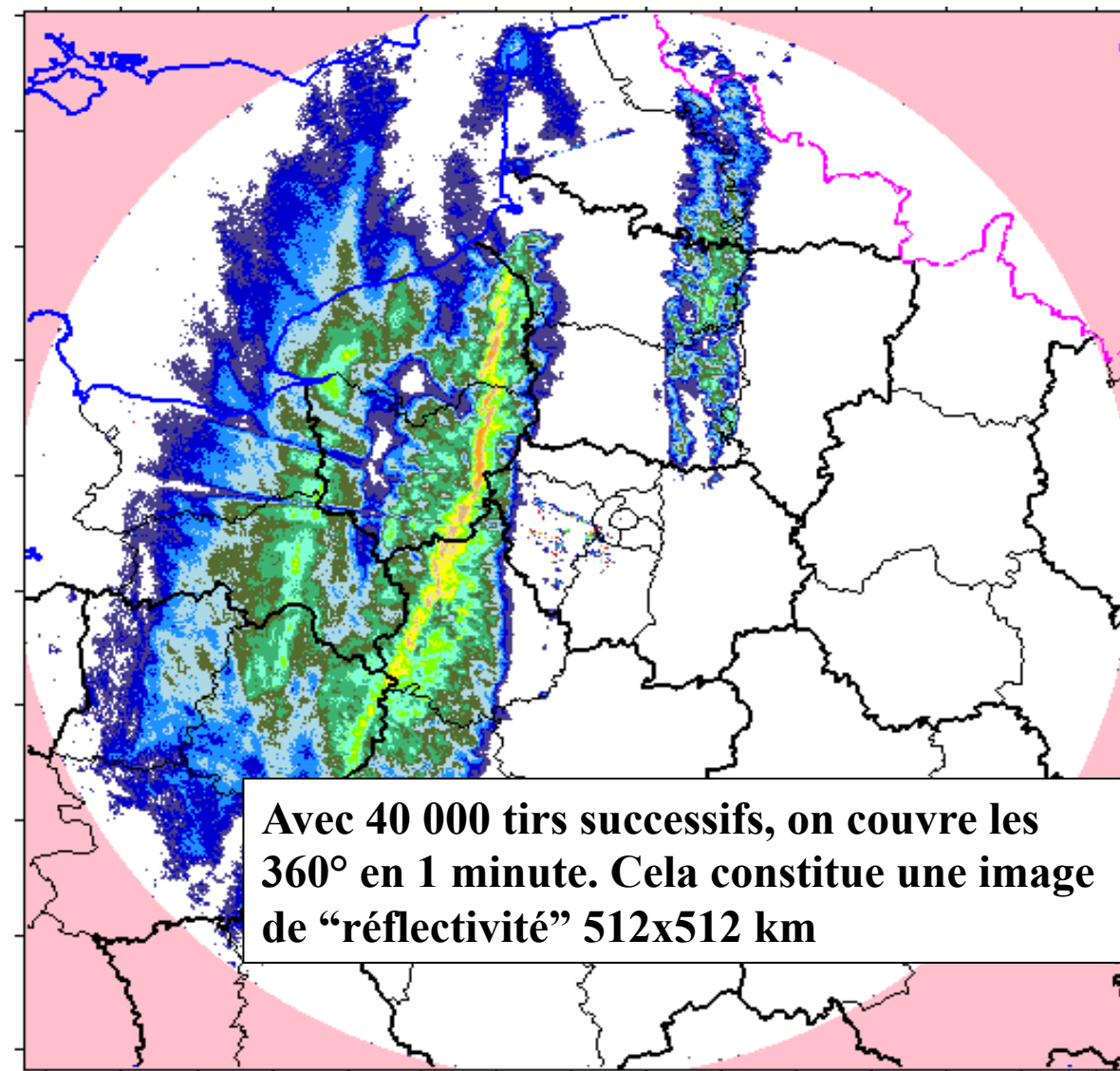
- deux mesures rapides des paramètres atmosphériques séparées par 150m
- 1 scintillomètre

Dispositif expérimental (en plus du SIRTA)



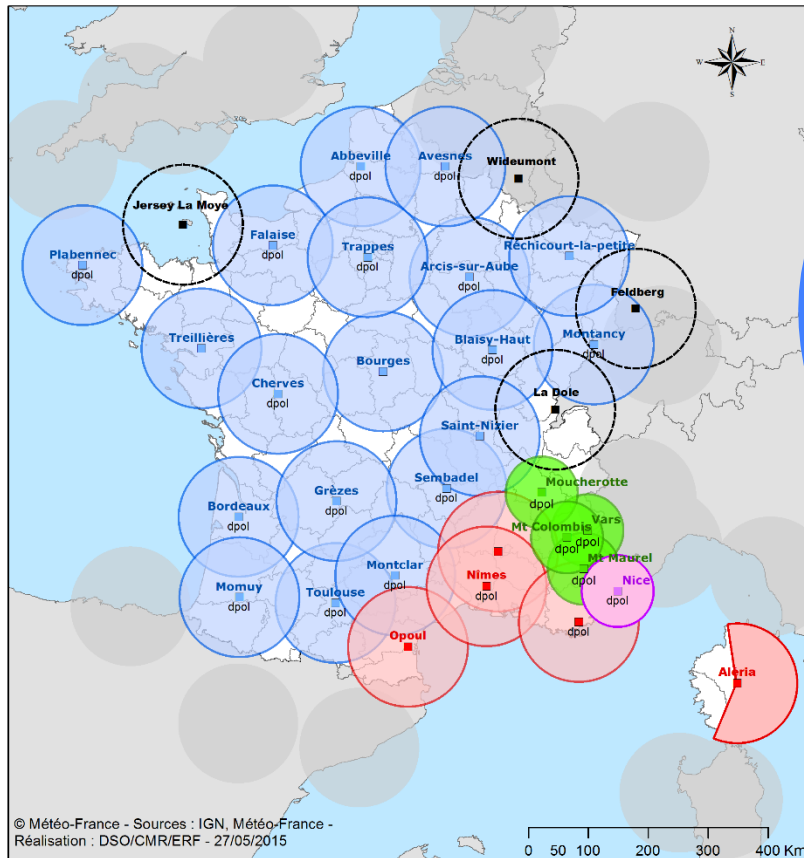
Évolution temporelle de la variation d'indice de réfraction atmosphérique ($\times 10^6$) sur 10 jours

Les radars précipitation à Météo-France



Le réseau

Le réseau de radars été 2015



Légende
■ C band
■ X band
■ X band - LEOPARD
■ S band
■ C band - radar limitrophe
Dpol : dual polarization

29 radars
5 S / 19 C / 5 X
Tous Doppler
23 DPOL

Liaisons réseau avec les 29 radars

Fabrication des composites

Au niveau central (Toulouse)

Au niveau européen

Produits (5')

utilisateurs

Les problèmes de mesure

Taux de pluie – vecteur vent – type de précipitation
(prévision météo ; risque innondation)

- **Le radar mesure une réflectivité (D^6), et non pas un taux de pluie (D^3)**
- **Le radar mesure en altitude**
- **Le radar est sensible à d'autres cibles que la pluie (sol, avions, insectes,...)**
- **La réflectivité dépend beaucoup de la phase de la précipitation (pluie, neige, glace,..) qui n'est pas connue**
- **La zone de fonte (iso 0°) se traduit par une réflectivité énorme**
-

Les solutions :

- **La double polarisation**
- **L'exploration volumique**
- **Des efforts constants pour améliorer les algorithmes**

Exemple 1 : mosaïques à La Réunion lors du passage du cyclone Bejisa

Image radar (mosaïque)
du 3 janvier 2014 à 15h20 locales

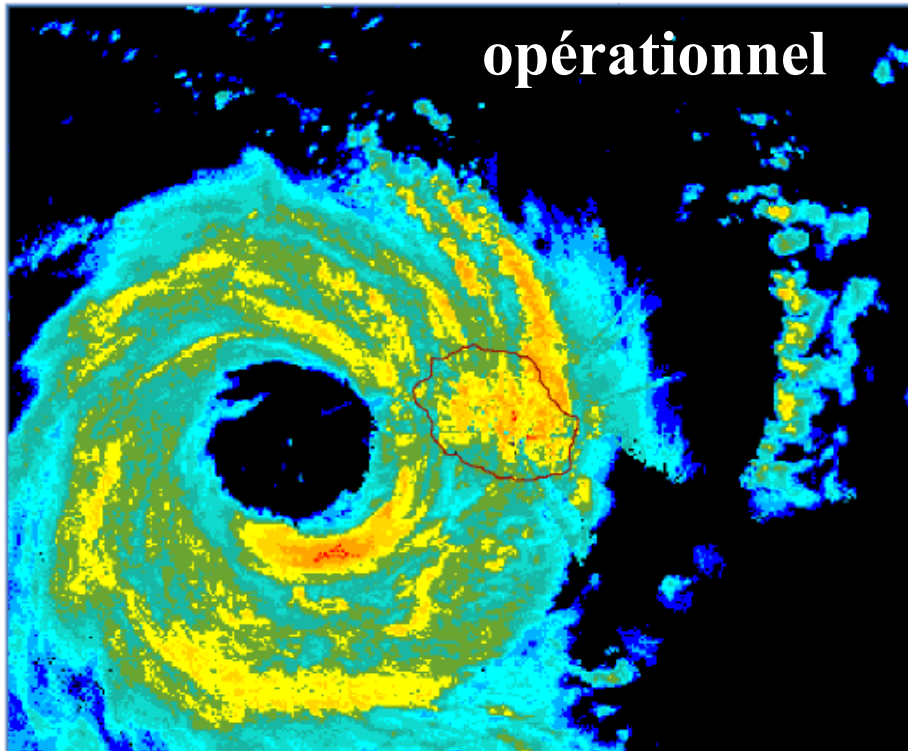
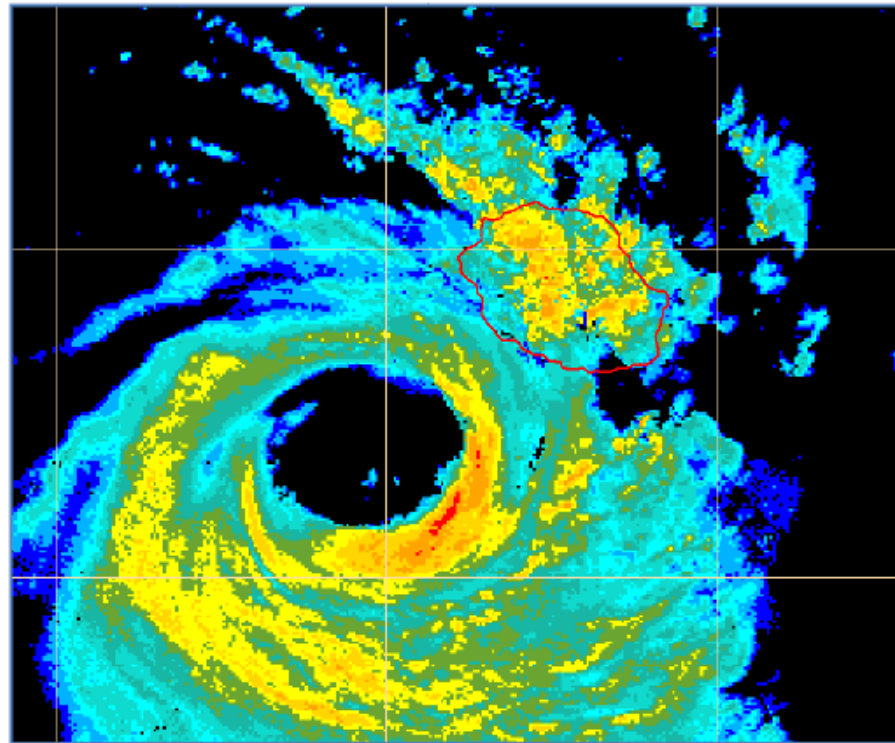
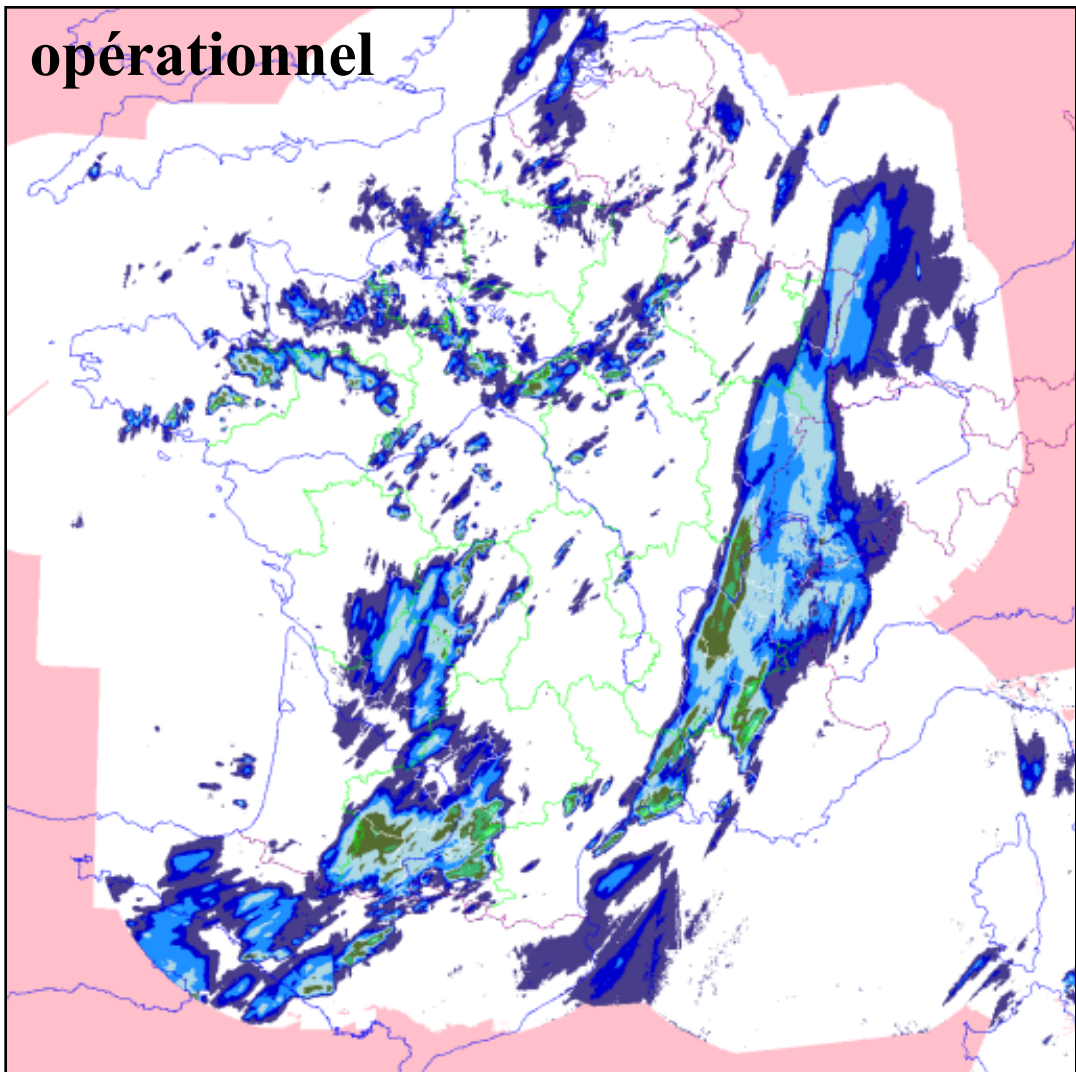


Image radar (mosaïque)
du 3 janvier 2014 à 18h05 locales



(cumuls de 1000 mm en 72h)

Exemple 2 : mosaïque radar sur la France



7 août 2013 18h

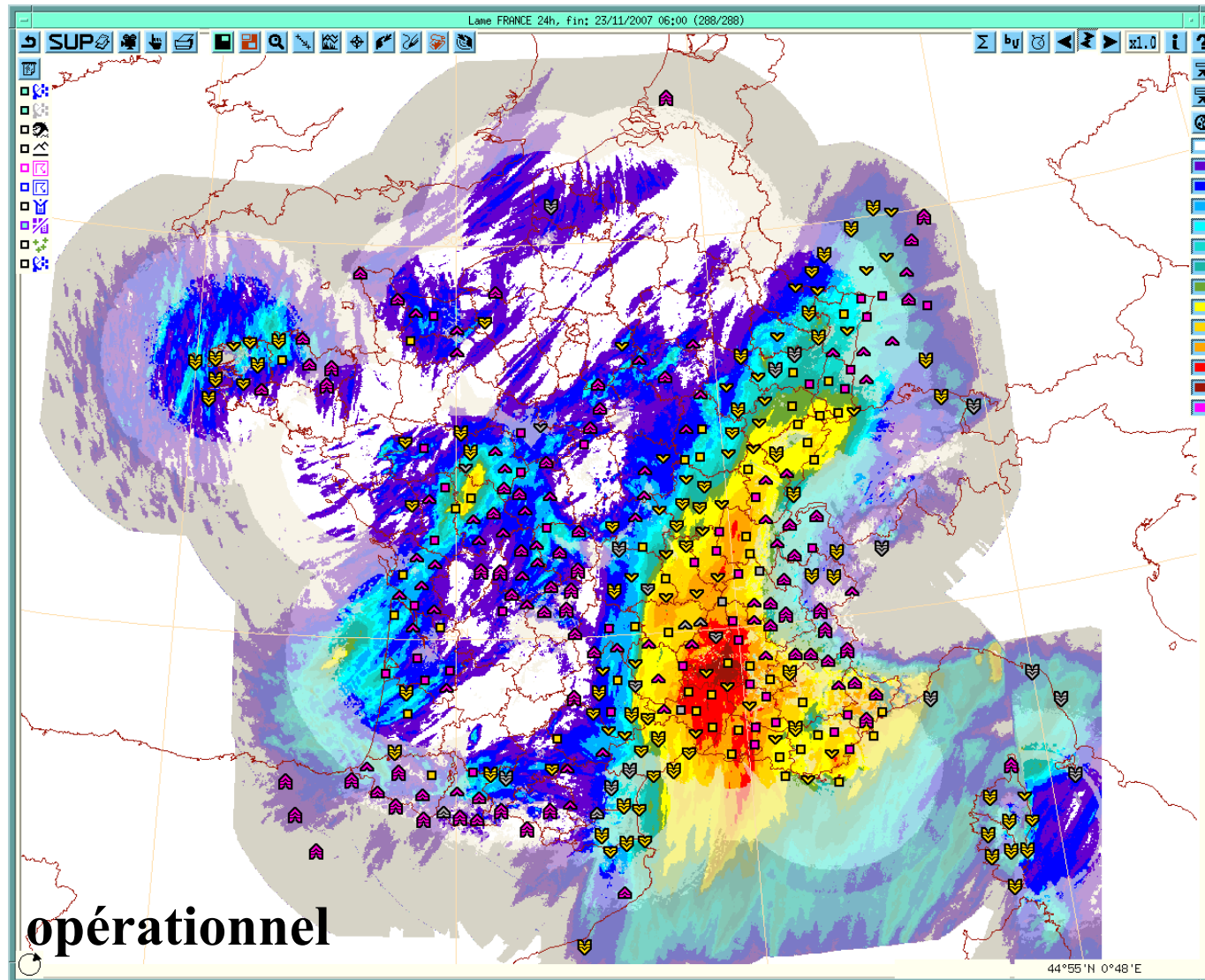
[2013-04-15] 11:45:00 UTC

Exemple 3

**mosaïque européenne
(15 minutes 2km)**

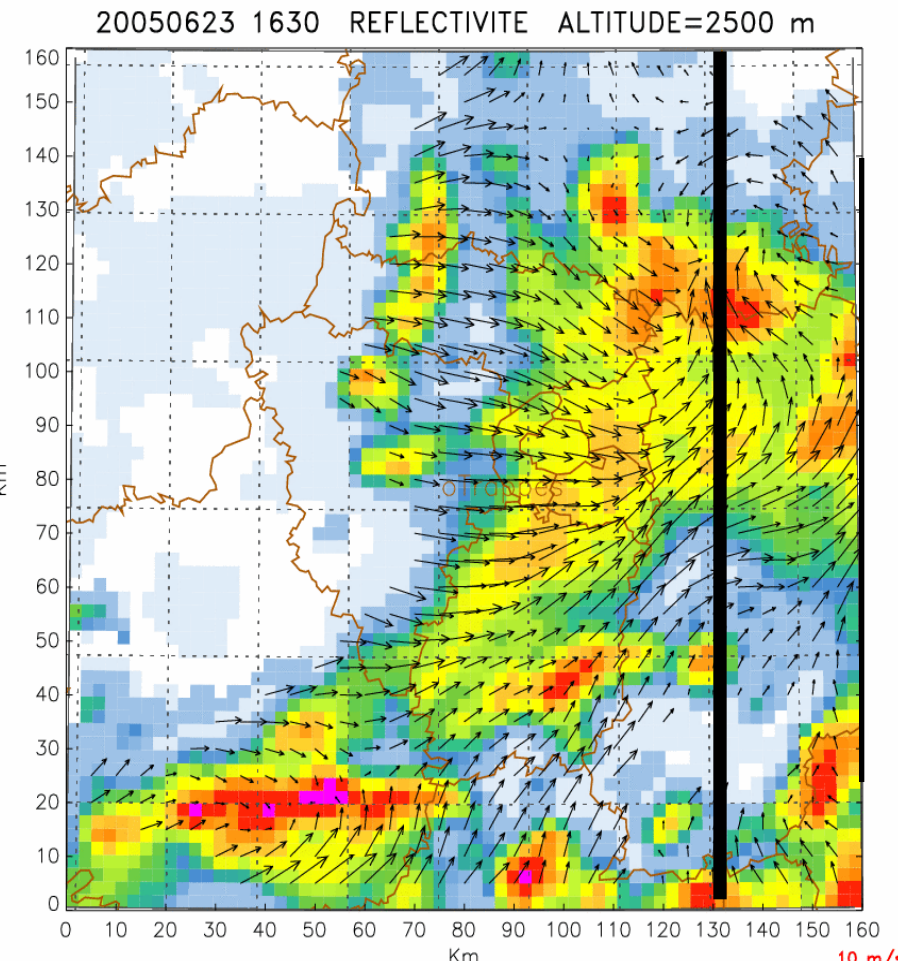
opérationnel

Exemple de produit pour les prévisionnistes : visualisation combinée radar et pluviomètres

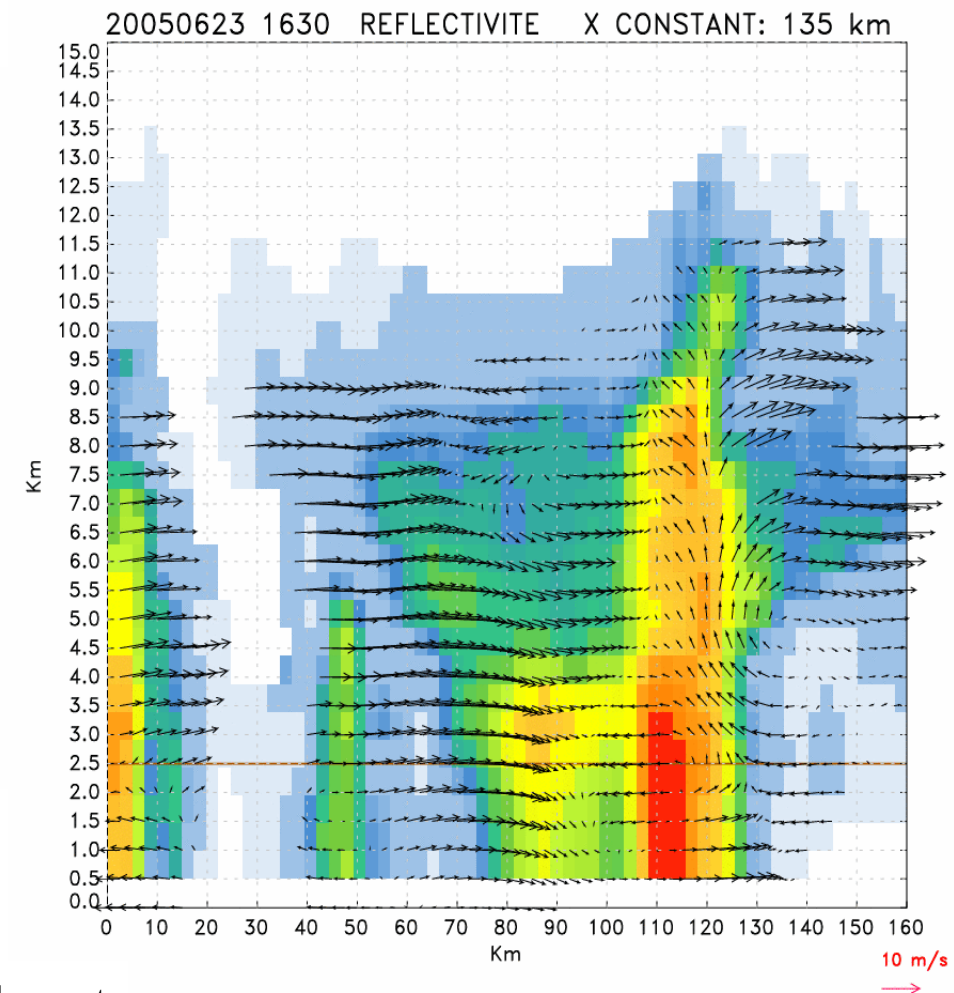


Doppler : champs 3D de vent et de réflectivité (Cas du 23 juin 2005 – Trappes + Arcis + Abbeville)

Coupe horizontale à 2500 m



Coupe verticale

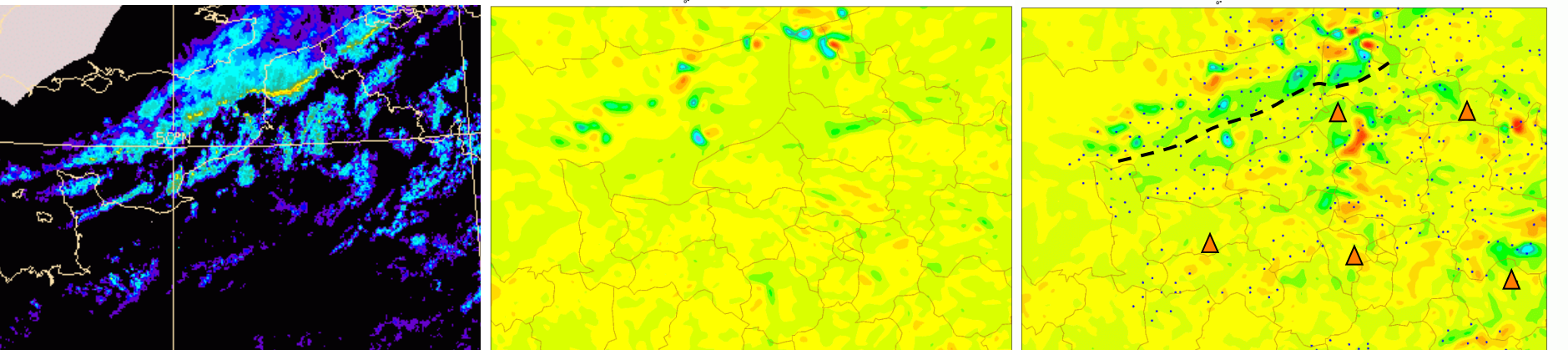


La restitution du vent est possible si le réseau radar est dense

Bousquet et al. (2007)

Assimilation of radar Doppler velocity

- 3DVar assimilation of Doppler velocity data (Montmerle and Faccani 2009):
 - Filtering/cleaning of unfolded velocity data
 - Observation operator:
 - 4/3 earth radius to model beam direction
 - Projection of model wind components on beam direction
 - Beam broadening taken into account (main lobe with Gaussian shape).
 - Example: convergence line associated with cold front on 8 Nov 2007 18 UTC



Radar reflectivity observation

950-hPa wind divergence from
Arome analysis
without Doppler velocity

950-hPa wind divergence from
Arome analysis
with Doppler velocity

▲ radars
. assimilated profiles

opérationnel

- ▶ Convergence line correctly analysed → improved precipitation forecasts

Ces radars peuvent ils être utiles pour détecter la pénétration de météorites dans l'atmosphère ?

Est-ce que le radar pourra détecter l'objet lui-même, ou la trace ionisée laissée par l'objet

Éléments à prendre en compte :

- Durée de vie de la trace
- chaque pixel correspond à un « volume » délimité par une section de cône de $1^\circ \times 200\text{m}$
- le temps de résidence du faisceau sur le pixel est d'environ 200 ms
- le même pixel est revisité après 5 minutes (ou 15 minutes pour certaines élévations)
- l'élévation max est de 7.5° , ce qui limite l'altitude max observée à :
 - 6 500 m à 50 km de distance
 - 13 000 m à 100 km de distance

On est très probablement dans une situation de fort (très fort?) sous-échantillonnage

Les données sont disponibles pour faire des essais, des traitements....

References (1/2)

- Auger, L., O. Dupont, S. Hagelin, P. Brousseau, P. Brovelli, 2014: AROME–NWC: a new nowcasting tool based on an operational mesoscale forecasting system. *Q. J. R. Meteorol. Soc.* DOI: 10.1002/qj.2463
- Augros, C., O. Caumont, V. Ducrocq, N. Gaussiat, P. Tabary: Comparisons between S, C, and X band polarimetric radar observations and convective-scale simulations of HyMeX first special observing period. *Q. J. R. Meteorol. Soc.*, DOI : 10.1002/qj.2572. Accepted.
- Besson, L., J. Parent du Châtelet, 2013: Solutions for improving the radar refractivity measurement by taking operational constraints into account. *J. Atmos. Oceanic Technol.*, **30**, 1730–1742. DOI: 10.1175/JTECH-D-12-00167.1
- Besson, L., C. Boudjabi, O. Caumont, J. Parent du Châtelet, 2012: Links between weather phenomena and characteristics of refractivity measured by precipitation radar. *Bound.-Lay. Meteor.*, **143**(1), 77–95, DOI: 10.1007/s10546-011-9656-7.
- Besson, L., O. Caumont, L. Goulet, S. Bastin, L. Menut, F. Fabry, J. Parent du Châtelet: Comparison of refractivity measurement by radar with automatic weather stations, AROME-WMED and WRF forecasts simulations during the SOP1 of HyMeX campaign. Submitted to *Q. J. R. Meteorol. Soc.*
- Browning, K. A., 1980: Local Weather Forecasting. *Proc. R. Soc. Lond. A*, **371**, 179–211; DOI: 10.1098/rspa.1980.0076.
- Caumont, O., V. Ducrocq, É. Wattrelot, G. Jaubert, S. Pradier-Vabre, 2010: 1D+3DVar assimilation of radar reflectivity data: A proof of concept. *Tellus*, **62A**(2), 173–187, DOI: 10.1111/j.1600-0870.2009.00430.x.Caumont, O., A. Foray, L. Besson, J. Parent du Châtelet, 2013: A radar refractivity change observation operator for convective-scale models: Comparison of observations and simulations. *Bound.-Lay. Meteorol.*, **148**(2), 379–397, DOI: 10.1007/s10546-013-9820-3.
- Courtier, P., C. Freydier, J.-F. Geleyn, F. Rabier, M. Rochas, 1991: The Arpege project at Météo-France. In *Numerical Methods in Atmospheric Models*. ECMWF, Reading, UK, 193–231.

References (2/2)

- Figueras i Ventura, J. and P. Tabary, 2013: The New French Operational Polarimetric Radar Rainfall Rate Product. *J. Appl. Meteor. Climatol.*, **52**, 1817–1835. doi: 10.1175/JAMC-D-12-0179.1 Hallali, R., J. Parent du Châtelet, F. Dalaudier, G. Guillemin, A. Moreau, 2014: Weather radar refractivity variability in the boundary layer of the atmosphere. *TECO-2014 WMO Technical Conference on Meteorological and Environmental Instruments and Methods of Observation*, Saint Petersburg, Russia. URL: http://www.wmo.int/pages/prog/www/IMOP/publications/IOM-116_TECO-2014/Session%201/P1_17_Hallali_WxRadarRefractiveVariability.pdf
- Montmerle, T., and C. Faccani, 2009: Mesoscale assimilation of radial velocities from Doppler radar in a pre-operational framework. *Mon. Wea. Rev.*, **137**(6), 1939–1953, DOI:10.1175/2008MWR2725.1.
- Parent du Châtelet, J., C. Boudjabi, L. Besson, O. Caumont, 2012: Errors caused by long-term drifts of magnetron frequencies for refractivity measurement with a radar: Theoretical formulation and initial validation. *J. Atmos. Oceanic Technol.*, **29**(10), 1428–1434, DOI: 10.1175/JTECH-D-12-00070.1.
- Seity, Y., P. Brousseau, S. Malardel, G. Hello, P. Bénard, F. Bouttier, C. Lac, V. Masson, 2011: The AROME-France convective scale operational model. *Mon. Wea. Rev.*, **139**(3), 976-991. DOI: 10.1175/2010MWR3425.1
- Tabary, P., L. Périer, J. Gagneux, J. Parent du Châtelet, 2005: Test of a staggered PRT scheme for the French radar network. *J. Atmos. Oceanic Technol.*, **22**, 352–364.
- Tabary, P., F. Guibert, L. Périer, J. Parent du Châtelet, 2006: An operational triple-PRT Doppler scheme for the French radar network. *J. Atmos. Oceanic Technol.*, **23**, 1645–1656.
- Vié, B. and Pinty, J.-P., 2014: LIMA: a 2-moment scheme driven by a multimodal population of CCN and IN, 14th Conf. Cloud Physics, Boston, MA. URL: <https://ams.confex.com/ams/14CLOUD14ATRAD/webprogram/Paper249863.html>.
- Wattrelot, É., O. Caumont, J.-F. Mahfouf, 2014: Operational implementation of the 1D+3D-Var assimilation method of radar reflectivity data in the AROME model. *Mon. Wea. Rev.*, **142**(5), 1852–1873, DOI: 10.1175/MWR-D-13-00230.1.



Merci de votre attention